

(19) 日本国特許庁(JP)

## (12) 特許公報(B2)

(11) 特許番号

特許第4717344号  
(P4717344)

(45) 発行日 平成23年7月6日(2011.7.6)

(24) 登録日 平成23年4月8日(2011.4.8)

(51) Int.Cl.

F 1

H01L 41/09	(2006.01)	H01L 41/08	C
H01L 41/187	(2006.01)	H01L 41/18	101B
H01L 41/22	(2006.01)	H01L 41/18	101D
B41J 2/045	(2006.01)	H01L 41/18	101J
B41J 2/055	(2006.01)	H01L 41/22	Z

請求項の数 6 (全 15 頁) 最終頁に続く

(21) 出願番号

特願2003-411167 (P2003-411167)

(22) 出願日

平成15年12月10日 (2003.12.10)

(65) 公開番号

特開2005-175099 (P2005-175099A)

(43) 公開日

平成17年6月30日 (2005.6.30)

審査請求日

平成18年6月20日 (2006.6.20)

(73) 特許権者 000001007

キヤノン株式会社

東京都大田区下丸子3丁目30番2号

(74) 代理人 100082337

弁理士 近島 一夫

(74) 代理人 100095991

弁理士 阪本 善朗

(72) 発明者 伊福 俊博

東京都大田区下丸子3丁目30番2号 キ  
ヤノン株式会社内

(72) 発明者 松田 堅義

東京都大田区下丸子3丁目30番2号 キ  
ヤノン株式会社内

最終頁に続く

(54) 【発明の名称】誘電体薄膜素子、圧電アクチュエータおよび液体吐出ヘッド

## (57) 【特許請求の範囲】

## 【請求項 1】

基板上に形成された、面方位が(001)である単結晶または単一配向性の、 $PbTiO_3$ のペロブスカイト酸化物からなる中間層と、該中間層上にエピタキシャル成長した、面方位が(001)である単結晶または単一配向性の、ペロブスカイト酸化物からなる誘電体薄膜と、を備えた誘電体薄膜素子であって、

前記中間層は双晶面が(101)もしくは(011)である双晶構造を有し、前記誘電体薄膜は配向度が90%以上であることを特徴とする誘電体薄膜素子。

## 【請求項 2】

振動板と、該振動板上に形成された、面方位が(001)である単結晶または単一配向性の、 $PbTiO_3$ のペロブスカイト酸化物からなる中間層と、該中間層上にエピタキシャル成長した、面方位が(001)である単結晶または単一配向性の、ペロブスカイト酸化物からなる圧電体薄膜と、を備えており、

前記中間層は双晶面が(101)もしくは(011)である双晶構造を有し、前記圧電体薄膜は配向度が90%以上であることを特徴とする圧電アクチュエータ。

## 【請求項 3】

前記圧電体薄膜が鉛系圧電体薄膜であることを特徴とする請求項2記載の圧電アクチュエータ。

## 【請求項 4】

前記圧電体薄膜のa軸の長さを $a_d$ 、前記中間層のa軸の長さを $a_1$ 、c軸の長さ

10

20

を  $c_1$  、とした際、  $a_1 < a_d < c_1$  なる関係を満たすことを特徴とする請求項 2 または 3 記載の圧電アクチュエータ。

#### 【請求項 5】

圧電駆動力によって圧力室内の液体を加圧して吐出口から吐出する液体吐出ヘッドであつて、

前記圧力室が設けられた流路基板と、該流路基板に設けられた振動板と、該振動板上に形成された、面方位が(001)である単結晶または単一配向性の、 $PbTiO_3$  のペロブスカイト酸化物からなる中間層と、該中間層上にエピタキシャル成長した、面方位が(001)である単結晶または単一配向性の、ペロブスカイト酸化物からなる圧電体薄膜と、該圧電体薄膜に電流を供給するための電極と、を有し、

前記中間層は双晶面が(101)もしくは(011)である双晶構造を有し、前記圧電体薄膜は配向度が90%以上であることを特徴とする液体吐出ヘッド。

10

#### 【請求項 6】

前記中間層の膜厚が1~200nmであることを特徴とする請求項 5 記載の液体吐出ヘッド。

#### 【発明の詳細な説明】

##### 【技術分野】

##### 【0001】

本発明は、誘電体薄膜を用いる圧電アクチュエータ等の誘電体薄膜素子、圧電アクチュエータおよび液体吐出ヘッドに関するものである。

20

##### 【背景技術】

##### 【0002】

近年注目されている薄膜材料として一般式  $ABO_3$  で構成されるペロブスカイト型構造を有する誘電体材料がある。この材料は例えば  $Pb(Ti, Zr)O_3$  系に代表されるように優れた強誘電性、焦電性、圧電性、誘電性を示すことから、これらの特性を利用した液体吐出ヘッドの圧電アクチュエータ、マイクロホン、発音体(スピーカーなど)、各種振動子センサ、不揮発メモリ、DRAMのキャパシタ絶縁膜等の応用が期待されている。

##### 【0003】

これらの機材の特性向上あるいは集積化を図るために、その薄膜化が非常に重要である。例えば、圧電体薄膜を用いることで圧電アクチュエータをより小型化、高機能化することによって、マイクロマシン、マイクロセンサおよび液体吐出ヘッドなどへの利用が検討されており、これまで不可能とされていた様々な分野において、微細かつ精密な制御等が可能になると期待されている。

30

##### 【0004】

圧電駆動素子を用いた圧電アクチュエータを搭載する液体吐出記録装置の場合、インク室等液体供給室に連通した圧力室とその圧力室に連通した吐出口(ノズル)とを備えた流路基板に対して、圧電駆動素子が搭載された振動板が前記圧力室に面して接合される。このような構成において、圧電駆動素子に所定の電圧を印加して圧電駆動素子を伸縮させることにより、たわみ振動を起こさせて圧力室内のインク等液体を圧縮し、吐出口から液滴を吐出させる。

40

##### 【0005】

現在、カラーのインクジェット記録装置等が普及してきたが、その印字性能の向上、特に高解像度化および高速印字が求められており、液体吐出ヘッドを微細化したマルチノズルヘッド構造を用いて高解像度および高速印字を実現することが試みられている。液体吐出ヘッドを微細化するためには、液体を吐出させるための圧電駆動素子を小型化することが必要になる。

##### 【0006】

従来、このような小型の圧電駆動素子は、焼結により得られた圧電体を切削、研磨等の技術によって微細成形して製造された圧電膜を用いていたが、これとは別に、圧電体を薄

50

膜として積層し、半導体で用いられてきたフォトリソ加工技術を駆使してより高精度な超小型の圧電駆動素子を開発する研究がなされている。さらに、その高性能化を考えた場合、圧電体は単結晶あるいは単一配向性の誘電体薄膜であることが望ましく、ヘテロエピタキシャル成長技術の開発が盛んに行われている。

#### 【0007】

誘電体薄膜のヘテロエピタキシャル成長技術では、基板を含む下地層との間の誘電体薄膜の格子定数のミスマッチを小さくすることが重要であり、基板と誘電体薄膜との間に格子のミスマッチを小さくする目的の中間層を挿入する方法が一般的に広く知られている。

#### 【0008】

一方、基板と誘電体薄膜がエピタキシャル関係に無くても、高い単一配向性を有する誘電体薄膜を成膜する技術も研究されている。例えば特許文献1に記載されているように、基板と誘電体薄膜の熱膨張係数の差を利用して、高配向の圧電体薄膜を得る方法が提案されている。

【特許文献1】特開平07-300397号公報

#### 【発明の開示】

#### 【発明が解決しようとする課題】

#### 【0009】

しかしながら、上記従来のエピタキシャル成膜技術や、特許文献1に代表されるような基板と誘電体薄膜の熱膨張係数の差を利用した成膜方法では、誘電体薄膜に格子のミスマッチや熱膨張係数の差に起因した応力が生じてしまい、膜剥がれの原因となるため、誘電体薄膜素子の大面積化の妨げになっていた。

#### 【0010】

仮に膜剥がれが起こらない場合であっても、誘電体薄膜に発生する応力は、例えばF e R A Mの疲労特性に代表されるような誘電体薄膜の特性劣化を招き、誘電体薄膜素子のデバイス化の妨げになっていた。

#### 【0011】

特に最近研究が盛んなマイクロマシンやインクジェット記録装置に使用される液体吐出ヘッドのように、誘電体薄膜自身が変位をする圧電アクチュエータは、誘電体薄膜の膜厚が $0.5\text{ }\mu\text{m} \sim 500\text{ }\mu\text{m}$ 程度と厚いことや、圧電変位を持つことにより、基板や中間層と誘電体薄膜との間の膜剥がれの問題は特に重要である。

#### 【0012】

本発明は、上記従来の技術の有する未解決の課題に鑑みてなされたものであり、基板や下地層との間に、双晶構造の中間層を介在させることにより、誘電体薄膜に発生する応力を緩和して、応力による膜剥がれや、誘電体薄膜の特性劣化を防ぎ、単結晶もしくは高配向の圧電体薄膜等誘電体薄膜の大面積化が可能である誘電体薄膜素子、圧電アクチュエータおよび液体吐出ヘッドを提供することを目的とするものである。

#### 【課題を解決するための手段】

#### 【0013】

上記の目的を達成するため、本発明の誘電体薄膜素子は、基板上に形成された、面方位が(001)である单結晶または単一配向性の、 $\text{PbTiO}_3$ のペロブスカイト酸化物からなる中間層と、該中間層上にエピタキシャル成長した、面方位が(001)である单結晶または単一配向性の、ペロブスカイト酸化物からなる誘電体薄膜と、を備えた誘電体薄膜素子であって、前記中間層は双晶面が(101)もしくは(011)である双晶構造を有し、前記誘電体薄膜は配向度が90%以上であることを特徴とする。

#### 【0014】

本発明の圧電アクチュエータは、振動板と、該振動板上に形成された、面方位が(001)である单結晶または単一配向性の、 $\text{PbTiO}_3$ のペロブスカイト酸化物からなる中間層と、該中間層上にエピタキシャル成長した、面方位が(001)である单結晶または単一配向性の、ペロブスカイト酸化物からなる圧電体薄膜と、を備えており、前記中間層

10

20

30

40

50

は双晶面が(101)もしくは(011)である双晶構造を有し、前記圧電体薄膜は配向度が90%以上であることを特徴とする。

【0015】

前記圧電体薄膜が鉛系圧電体薄膜である。

【0016】

本発明の液体吐出ヘッドは、圧電駆動力によって圧力室内の液体を加圧して吐出口から吐出する液体吐出ヘッドであって、前記圧力室が設けられた流路基板と、該流路基板に設けられた振動板と、該振動板上に形成された、面方位が(001)である単結晶または单一配向性の、 $PbTiO_3$ のペロブスカイト酸化物からなる中間層と、該中間層上にエピタキシャル成長した、面方位が(001)である単結晶または单一配向性の、ペロブスカイト酸化物からなる圧電体薄膜と、該圧電体薄膜に電流を供給するための電極と、を有し、前記中間層は双晶面が(101)もしくは(011)である双晶構造を有し、前記圧電体薄膜は配向度が90%以上であることを特徴とする。

【0017】

【0018】

【0019】

【0020】

前記双晶構造の薄膜の膜厚が1~200nmであるとよい。

【0021】

【0022】

【発明の効果】

【0023】

液体吐出ヘッドの振動板や中間転写体である基板上に、双晶構造の中間層を介して圧電材料等の誘電体薄膜をエピタキシャル成長させる。

【0024】

誘電体薄膜に圧電性等を付与するための単結晶化等の処理を行う際に、格子のミスフィット等によって膜内に発生する応力が中間層の双晶構造によって吸収されるため、前記応力による膜剥がれや圧電特性の劣化等を抑えることができる。

【0025】

これによって圧電特性にすぐれた圧電体薄膜の大面積化が可能となり、圧電アクチュエータを搭載する液体吐出ヘッドの高性能化と低価格化を促進できる。

【発明を実施するための最良の形態】

【0026】

図1の(a)に示すように、基板11と、基板11上に積層された多層構成の中間層12と、その上に成膜された圧電体薄膜13とによって圧電駆動素子である誘電体薄膜素子10を構成する。

【0027】

圧電体薄膜13は、厚さが0.5~500μmの単結晶もしくは高配向の誘電体薄膜であり、中間層12は、圧電体薄膜13の下層に存在する双晶構造を有する第1の中間層である中間第1層12aと、その下の第2の中間層である中間第2層12bとからなる。

【0028】

基板11は、例えば $SrTiO_3$ 、 $(La, Sr)TiO_3$ 、 $MgO$ 、 $Al_2O_3$ 、 $SrRuO_3$ 、 $RuO$ 、 $Pt$ 、 $Si$ 等の単結晶基板、特に一般的に優れた強誘電体特性を示す鉛系の圧電体薄膜 $Pb(Zr, Ti)O_3$ 等に格子定数の近い $SrTiO_3$ 、 $(La, Sr)TiO_3$ 、 $MgO$ 等の、結晶面(100)を基板面とした単結晶基板がよいか、例えば単結晶ではないガラス基板やステンレス等の基板でもよい。

【0029】

基板11と中間第1層12aの間には、図示しない上電極とともに下電極として機能する電極手段である中間第2層12bを介在させるが、中間第3層以上を含む多層構成の積層体を介在させてもよい。中間第2層12bは、基板11、もしくは基板11と中間第2

10

20

40

50

層 1 2 bとの間に存在する下層の膜と格子のミスフィットの小さい材料が好ましい。

【 0 0 3 0 】

さらに好ましくは中間第2層 1 2 bが、白金、パラジウム、イリジウムおよびルテニウムからなる群より選択される金属またはその酸化物や (La, Sr) TiO<sub>3</sub>、SrRuO<sub>3</sub>などの導電性を示すペロブスカイト型酸化物の (100)、(010)、(001) を成長面とした単結晶もしくは単一配向の膜がよい。

【 0 0 3 1 】

中間第1層 1 2 aには、双晶構造を有する PT [ PbTiO<sub>3</sub> ]などの正方晶ペロブスカイト酸化物や SRO [ SrRuO<sub>3</sub> ]などの斜方晶ペロブスカイト酸化物が好適であり、好ましくは、成長主面が (001) であり、(101)、(011) に双晶面をもつ単結晶もしくは単一配向の膜がよい。この中間第1層 1 2 a の双晶構造により、単結晶または単一配向性の圧電体薄膜 1 3 を成膜するときに膜内に発生する応力が緩和されるため、応力による膜剥がれや圧電体薄膜 1 3 の特性劣化がなく、誘電体薄膜素子 1 0 の大面積化が容易である。  
10

【 0 0 3 2 】

図 1 の (a) に示す誘電体薄膜素子 1 0 は、誘電体薄膜を電極で挟んだ膜構成の圧電体アクチュエータの主要部であり、誘電体薄膜が圧電性を示す圧電体薄膜 1 3 であることを特徴とするもので、基板 1 1 上に中間第1層 1 2 a および下電極である中間第2層 1 2 b からなる中間層 1 2 が存在し、中間第1層 1 2 a 上に単結晶あるいは単一配向性の圧電体薄膜 1 3 が成膜され、圧電体薄膜 1 3 上に図示しない上電極が形成される。  
20

【 0 0 3 3 】

この膜構成の代わりに、図 1 の (b) に示すように、下電極として機能するために導電性を有し、図 1 の (a) に示す中間第2層を兼ねた基板 2 1 に、双晶構造の薄膜からなる单層構成の中間層 2 2 と圧電体薄膜 2 3 を積層した誘電体薄膜素子 2 0 を用いてもよい。

【 0 0 3 4 】

図 1 の (a)、(b) において、誘電体薄膜である圧電体薄膜の a 軸の長さを  $a_d$  、双晶構造を有する薄膜からなる单層の中間層または中間第1層の a 軸の長さを  $a_1$  、c 軸の長さを  $c_1$  とした際、各結晶軸の間に  $a_1 < a_d < c_1$  なる関係が存在するといい。さらに好ましくは、双晶構造を有する单層の中間層または中間第1層の a 軸の長さを  $a_1$  、c 軸の長さを  $c_1$  、基板または中間第2層の a 軸の長さを  $a_2$  とした際、各結晶軸の間に  $a_1 < a_2 < c_1$  なる関係が存在することが好ましい。これらの関係を満たすことで、圧電体薄膜に発生する応力はさらに緩和することができるため、膜剥がれもしくは圧電体薄膜の特性劣化をより一層改善でき、誘電体薄膜素子をより一層大面積化できる。  
30

【 0 0 3 5 】

例えば、双晶構造を有する中間第1層を PbTiO<sub>3</sub> とした場合は、SrTiO<sub>3</sub>、(La, Sr) TiO<sub>3</sub> または Pt の (001) を成長面とした単結晶もしくは単一配向性を有する中間第2層が好ましい。これはバルクセラミックスの文献値を参考にした場合、中間第2層の a 軸の長さ  $a_2$  が SrTiO<sub>3</sub> では  $a_2 = 3.905$  (JCPDS - 350734)、Pt では  $a_2 = 3.923$  (JCPDS - 040802) であるのに対し、正方晶 PbTiO<sub>3</sub> の文献値 (JCPDS - 060452) は a 軸の長さ  $a_1 = 3.899$ 、c 軸の長さ  $c_1 = 4.153$  であり、前述の  $a_1 < a_2 < c_1$  なる関係を満たすためである。  
40

【 0 0 3 6 】

圧電体薄膜には、鉛系のペロブスカイト構造の (001) を成長面とした単結晶もしくは単一配向性を有する誘電体薄膜が好ましい。例えば代表例として、図 1 の (a) における膜構成 [ 圧電体薄膜 / 中間第1層 / 中間第2層 / 基板 ] である圧電駆動素子として、Pb(Ti, Zr)O<sub>3</sub> / PbTiO<sub>3</sub> / Pt / MgO の積層構造が好ましく、同図の (b) における膜構成 [ 圧電体薄膜 / 中間層 / 基板 ] の圧電駆動素子として、Pb(Ti  
50

、 $Zr_2O_3$  /  $PbTiO_3$  / ( $La$ 、 $Sr$ ) $TiO_3$  の積層構造が好ましい。これは、正方晶  $Pb(Ti_{0.48}Zr_{0.52})O_3$  のバルクセラミックスの文献値 (JCPDS-330784) では  $a$  軸の長さ  $a_d = 4.036$  であり、前述の  $a_1 < a_d < c_1$  の関係を満たすためである。なお、圧電体薄膜は、非鉛系の  $BiTiO_3$  系や  $BaTiO_3$  系強誘電体薄膜や、 $SrTiO_3$  系の誘電体薄膜であってもよい。

#### 【0037】

単結晶もしくは单一配向の圧電体薄膜は  $Pb(Zr_xTi_{1-x})O_3$  に代表される鉛系の誘電体薄膜として以下の膜を選択できる。例えば、 $PZT[Pb(Zr_xTi_{1-x})O_3]$ 、 $PMN[Pb(Mg_xNb_{1-x})O_3]$ 、 $PNN[Pb(Nb_xNi_{1-x})O_3]$ 、 $PSN[Pb(Sc_xNb_{1-x})O_3]$ 、 $PZN[Pb(Zn_xNb_{1-x})O_3]$ 、 $PMN-PT\{(1-y)[Pb(Mg_xNb_{1-x})O_3] - y[PbTiO_3]\}$ 、 $PSN-PT\{(1-y)[Pb(Sc_xNb_{1-x})O_3] - y[PbTiO_3]\}$ 、 $PZN-PT\{(1-y)[Pb(Zn_xNb_{1-x})O_3] - y[PbTiO_3]\}$  である。  
10

#### 【0038】

ここで、 $x$  および  $y$  は 1 以下の 0 以上の数である。例えば、 $PMN$  の場合  $x$  は  $0.2 \sim 0.5$  で、 $PSN$  では  $x$  は  $0.4 \sim 0.7$  が好ましく、 $PMN-PT$  の  $y$  は  $0.2 \sim 0.4$ 、 $PSN-PT$  の  $y$  は  $0.35 \sim 0.5$ 、 $PZN-PT$  の  $y$  は  $0.03 \sim 0.35$  が好ましく、さらに上記主成分に例えば  $La$  ドープ  $PZT$  :  $PLZT[(Pb, La)(Z, Ti)_O_3]$  のように、 $La$  などの微量の元素をドーピングした組成物であってもよい。  
20

#### 【0039】

因みに単結晶もしくは单一配向薄膜とは X 線回折の 2 / 測定により膜の配向度が 90 % 以上あるものであり、好ましくは 99 % 以上のものである。90 % 未満は誘電体薄膜の誘電特性・焦電特性・圧電特性・強誘電特性が著しく低下するため好ましくない。

#### 【0040】

また、単結晶もしくは单一配向の圧電体薄膜、中間第 1 層、中間第 2 層等の製造方法は、スパッタリング法で基板を加熱保持しながら、成膜することによって単結晶化することができる。特に双晶構造をもつ薄膜からなる中間層（中間第 1 層）は、成膜時の加熱スパッタリングやその後のアニール、分極処理等の加熱過程の際、中間層（中間第 1 層）の相転移温度（例えばキュリー温度）以上の温度で数のばらつきを持たせて加熱処理することで、双晶構造が発生しやすくなる。その他 MOCVD、ゾルゲル法、MBE、PLD 法、水熱合成法でも、同様の双晶構造をもった中間層を得ることができる。  
30

#### 【0041】

本実施の形態による誘電体薄膜素子は、圧電体薄膜が单一配向結晶あるいは単結晶であるために、高密度で圧電性が高い圧電アクチュエータを得ることができる。また、圧電アクチュエータに発生する応力を、中間層の双晶構造により緩和することができるため、誘電体薄膜素子の大面積化が可能となり、これに伴って圧電アクチュエータの大面積化が可能になる。  
40

#### 【0042】

また、本実施の形態の圧電アクチュエータにおいては、図 1 の (a) に示す構成で基板 11 が導電性を示さない場合は、中間第 2 層 12b が導電性を有する電極が必要となる。中間第 2 層 12b が導電性を示さない場合は、基板 11 が導電性を有し、電極として機能する必要がある。

#### 【0043】

圧電体薄膜の下層に導電性を示す層が全く無い場合、例えば、図 1 の (b) において基板 21 が導電性を持たない場合は、基板 21 を中間転写体として用いることができる。すなわち、中間転写体上に中間層 22 が存在し、中間層 22 上に単結晶あるいは单一配向性の圧電体薄膜 23 が存在し、圧電体薄膜 23 上に図示しない電極を設けた圧電膜積層体を  
50

、液体吐出ヘッドの振動板等の構造体上に接合し、その後に、基板 21 からなる中間転写体を剥離する。

#### 【0044】

この場合は、液体吐出ヘッド上の圧電アクチュエータの層構成には、中間転写体である基板 21 は存在しない。このように、基板 21 を中間転写体として用いる場合の圧電アクチュエータの層構成は、中間層 22、圧電体薄膜 23 とその上の第 1 電極に加えて、中間転写体の剥離後の中間層 22 の露出面上に第 2 電極が存在する。

#### 【0045】

このように中間転写体を利用した圧電アクチュエータも、圧電体薄膜が単一配向結晶あるいは単結晶であるために、高密度で圧電性が高い圧電アクチュエータを得ることができ。また、中間転写体上に成膜される圧電体薄膜の応力を、中間層の双晶構造により緩和することができるため、圧電体薄膜の大面積化が可能となり、これに伴って圧電アクチュエータの大面積化が可能になる。10

#### 【0046】

図 2 は第 2 の実施の形態による液体吐出ヘッドを示すもので、圧電駆動素子である誘電体薄膜素子 30 によって駆動される振動板である基板 31 を有する圧電アクチュエータを搭載する。誘電体薄膜素子 30 は、双晶構造を有する薄膜である中間第 1 層 32a および下電極である中間第 2 層 32b からなる中間層 32、誘電体薄膜である圧電体薄膜 33 および上電極 34 からなる圧電駆動素子を構成し、基板 31 は、ノズルである吐出口 41、吐出口 41 に接続された圧力室 42、液体供給室 43 等を有する Si 基板等の流路基板からなる本体部 40 上に、圧力室 42 の開口部をふさぐ振動板として設けられる。20

#### 【0047】

この液体吐出ヘッドの圧電振動部は、振動板の機能を兼ねた基板 31 上に、上記の圧電駆動素子を有する圧電アクチュエータを用いるもので、圧電体薄膜 33 と上電極 34 は、パターニングによって、図 2 の (b) に示す圧力室 42 の形状に沿って分割されており、また、本体部 40 の吐出口 41 は、圧電振動部の変位により圧力室 42 の圧力が変動し、液体供給室 43 より供給されたインク等液体を吐出口 41 より吐出するノズル形状となっている。

#### 【0048】

なお、圧電体薄膜 33 と上電極 34 の分割は、各圧力室 42 に対応した分割であっても、そうでなくてもよい。また、分割された圧電体薄膜 33 の間に圧電体薄膜 33 の伸縮を阻害しない剛性の低い樹脂等が存在してもよい。圧力室 42 の形状は、長方形、円形、橢円形等各種選択することができる。また、サイドシューターの場合には、圧力室 42 の断面形状をノズル方向に絞った形状にすることもできる。30

#### 【0049】

振動板を構成する基板 31 は、例えば  $\text{SiO}_2$  膜 31a、 $\text{Si}(100)$  膜 31b、 $\text{MgO}(100)$  膜 31c を有し、中間第 2 層 32b は、 $\text{Pt}(100)$  膜である。

#### 【0050】

本実施の形態による液体吐出ヘッドの層構成の具体例 1 ~ 16 を以下に列挙する。なお各例の層構成の表示は、上電極 // 圧電体薄膜 // 中間第 1 層 // 下電極 (中間第 2 層) // 振動板 // 基板 (本体部) となっている。少なくとも圧電体薄膜、下電極、振動板はエピタキシャル成長で形成され、中間第 1 層が双晶構造を有することで圧電体薄膜と下電極・振動板・基板 (本体部) からなる積層体との間に発生する応力を緩和することができる。また、双晶構造をもつ中間第 1 層または中間層はアンダーラインで示した。さらに、図 1 の (b) に示すように、1 層で下電極・振動板・基板 (本体部) の機能を複数同時に満たす構成でもよい。40

#### 【0051】

例 1  $\text{Pt} // \text{PZT}(001) / \text{PT}(001) // \text{Pt}(100) // \text{MgO}(100) // \text{Si}(100)$

例 2  $\text{Pt} // \text{PZT}(001) / \text{PT}(001) // \text{Pt}(100) // \text{STO}(100) // \text{Si}(100)$

例 3  $\text{Au} // \text{PZT}(001) / \text{PT}(001) // \text{LSTO}(100) // \text{Si}(100) / \text{SiO}_2 / \text{Si}(100)$

例 4 Pt//PZT(001)/PT(001)//Pt(100)//Al<sub>2</sub>O<sub>3</sub>(100)//Si(100)  
 例 5 (参考例) Pt//PZT(111)/PT(111)//Pt(111)//YSZ(100)/Zr//Si(100)  
 例 6 (参考例) Ag/PZT(001)/BT(001)//Pt(100)//LaAlO<sub>3</sub>(100)//Si(100)  
 例 7 Au//PZT(001)/PT(001)//Pt(100)//YSZ(111)/SiO<sub>2</sub>//Si(111)  
 例 8 Au//PZT(001)/PT(001)//LSTO(100)//YSZ(111)/SiO<sub>2</sub>//Si(111)  
 例 9 (参考例) Au//PZT(111)/PT(111)//Pt(111)//YSZ(100)/SiO<sub>2</sub>//Si(100)  
 例 10 (参考例) Au//PZT(001)//SRO(001)//Si(100)  
 例 11 (参考例) Pt//PZT(111)/PT(111)//Pt(111)//MgO(111)//Si(100)  
 例 12 (参考例) Au//PZT(001)/BT//SRO(001)//Si(100)  
 例 13 Au//PZT(001)/PT(001)//Pt(100)//MgO(100) 10  
 例 14 Au//PZT(001)/PT(001)//Pt(100)//STO(100)  
 例 15 Pt//PZT(001)/PT(001)//LSTO(100)  
 例 16 Au//PZT(001)/PT(001)//Pt(100)//Al<sub>2</sub>O<sub>3</sub>(100)

**【0052】**

上記の具体例としては圧電体薄膜をP Z Tで例示したが、これらは鉛系圧電体薄膜P M N、P Z N、P S N、P N N、P M N - P T、P S N - P T、P Z N - P Tに適宜変更させた層構成でもよい。さらに、上記主成分に例えばLaドープP Z T : P L Z T [ (P b、L a)(Z、T i)O<sub>3</sub>]のように、Laなどの微量の元素をドーピングした組成物であってもよい。

**【0053】**

本実施の形態の一変形例として、中間転写体である基板上の中間層//圧電体薄膜//電極(下電極)の層構成を液体吐出ヘッドの本体部に転写した構成を用いてもよい。この場合の液体吐出ヘッドは、吐出口に接続された圧力室を有する本体部、圧力室の開口部をふさぐように設けられた圧電振動部を備え、前記中間転写体構成体の電極面側と圧電振動部の振動板とを接合し、その後、中間転写体を剥離するため、圧電振動部には中間転写体が存在しない。

**【0054】**

この場合の圧電振動部の層構成は、上記の中間層、圧電体薄膜、第1電極(下電極)に加えて中間転写体の剥離面上に第2電極(上電極)が存在する。また、少なくとも圧電体薄膜と中間層と上電極が分割されており、かつ、本体部の吐出口はノズル形状となっており、圧電振動部の変位により圧力室の圧力が変動し、それに伴い液体供給室より供給されたインク等液体が吐出口より吐出する。

**【0055】**

圧電体薄膜と電極の分割は、各圧力室に対応した分割であっても、そうでなくてもよい。また、分割された圧電体薄膜の間に圧電体薄膜の伸縮を阻害しない剛性の低い樹脂等が存在してもよい。圧力室の形状は、長方形、円形、橍円形等各種選択することができる。また、サイドシャーティーの場合には、圧力室の断面形状をノズル方向に絞った形状にすることもできる。

**【0056】**

上記の圧電アクチュエータにおいて、圧電体薄膜の圧電変位は圧電体薄膜に印加される実効電界に依存するため、双晶構造を有する中間第1層(中間層)の膜厚は薄いことが好ましく、1nm以上、200nm以下であることが好ましい。200nmを超えると圧電体薄膜に印加される実効電界が低下し、このため、圧電体薄膜の圧電変位が小さくなるため好ましくなく、1nmより少ないと中間第1層(中間層)が双晶構造とならないため好ましくない。

**【0057】**

本実施の形態によれば、圧電アクチュエータの圧電体薄膜が単一配向結晶あるいは単結晶であるために、高密度で吐出力が大きく、かつ高周波数で稼動する液体吐出ヘッドを実現できる。加えて、中間層の双晶構造が圧電振動部に発生する応力を緩和して膜剥がれを防ぐため、液体吐出ヘッドの大型化が容易である。

10

20

30

40

50

### 【実施例 1】

#### 【0058】

本実施例による誘電体薄膜素子（圧電駆動素子）の膜構成は、図3に示すように、MgO(001)（単結晶生成基板）の基板上へ電極を兼ねた中間第2層として0.2μmのPt(001)を500以上に加熱しながらスパッタ法でエピタキシャル成長させ、その上に中間第1層として500以上で0.2μmのPT(001)を、次に圧電体薄膜として2μmのPZTを順番にエピタキシャル成長させた。すべての成膜工程において、成膜後は急冷により基板冷却を行った。PZTの組成はPb(Ti<sub>0.53</sub>Zr<sub>0.47</sub>)O<sub>3</sub>で成膜した。また、中間第1層であるPT(001)の基板加熱温度は成膜中に605とし、±5以内の範囲で意図的に変化させて双晶構造の薄膜を成膜した。このようにして作製した誘電体薄膜素子の単結晶性をXRDにより測定した結果を図4に示す。このX線回折パターンから、PZTは(001)に99%以上配向していることを確認した。

#### 【0059】

また基板法線軸に垂直である(010)から電子線を入射したPZTの電子線回折を行ったところ、PZTは膜成長面を(001)とした単結晶構造が得られたことが確認された。さらに、基板法線軸に垂直である(010)から電子線を入射したPTの電子線回折を行ったところ、PTは膜成長面を(001)とした双晶構造をもつことが確認された。

#### 【0060】

さらに、XRDでPTのa軸に相当する面間隔で2軸を固定したPTのロッキングカーブ測定（スキャン）を行った。その結果を図5に示す。このX線回折パターンから、PTは(101)を双晶面とした双晶構造をもつことを確認した。この双晶構造はPTの(200)で結像した断面TEM暗視野像からも確認できる。

#### 【0061】

さらに、XRD測定により中間第2層のPtと、中間第1層のPTと、圧電体薄膜PZTの格子定数を評価した。この結果PZTのa軸の長さa<sub>d</sub>=4.04、PTのa軸の長さa<sub>1</sub>=3.90、PTのc軸の長さc<sub>1</sub>=4.16の間にa<sub>1</sub><a<sub>d</sub><c<sub>1</sub>なる関係が存在し、かつ、PTのa軸の長さa<sub>1</sub>=3.90、PTのc軸の長さc<sub>1</sub>=4.16、Ptのa軸の長さa<sub>2</sub>=3.93の間にa<sub>1</sub><a<sub>2</sub><c<sub>1</sub>なる関係が存在することが分かった。さらに、PZTのa軸の長さa<sub>d</sub>=4.04は、Zr/Ti=52/48のバルクセラミックスの文献値a=4.036(JCPDS-330784)と同等であり、エピタキシャル膜であっても応力が緩和されていることが確認できた。

### 【実施例 2】

#### 【0062】

本実施例による誘電体薄膜素子（圧電駆動素子）の膜構成は、図6に示すように、下電極を兼ねた(La、Sr)TiO<sub>3</sub>(001)（単結晶生成基板）の基板上へ中間層として500以上で0.1μmのPT(001)を、次に圧電体薄膜として3μmのPZTを順番にエピタキシャル成長させた。すべての成膜工程において、成膜後は急冷により基板冷却を行った。PZTの組成はPb(Ti<sub>0.53</sub>Zr<sub>0.47</sub>)O<sub>3</sub>で成膜した。また、中間層であるPT(001)の基板加熱温度は成膜中に605とし、±5以内の範囲で意図的に変化させて双晶構造の薄膜を成膜した。このようにして作製した誘電体薄膜素子の単結晶性をXRDにより測定した結果を図7に示す。このX線回折パターンから、PZTは(001)にほぼ100%配向していることを確認した。

#### 【0063】

また基板法線軸に垂直である(010)から電子線を入射したPZTの電子線回折を行った結果、PZTは膜成長面を(001)とした単結晶構造が得られたことを確認した。さらに、基板法線軸に垂直である(010)から電子線を入射したPbTiO<sub>3</sub>の電子線回折を行った結果、PTは膜成長面を(001)とした双晶構造をもつことを確認した

10

20

30

40

50

。同様にPTのロッキングカーブ測定(スキャン)と、PTの(200)で結像した断面TEM暗視野像から、PTは実施例1と同様に膜成長面を(001)とし、(101)を双晶面とした双晶構造をもつことを確認した。

#### 【0064】

このようにして得られた圧電駆動素子に対して、クロスカット試験により圧電体薄膜の密着性をテストしたところ、実施例1と同様、剥離する部分は全く無く、密着性は良好であった。さらに、PZTのa軸をXRDにより測定したところ、 $a_d = 4.04$ で、 $Zr/Ti = 52/48$ のバルクセラミックスの文献値(JCPDS-330784)と同等であり、応力が緩和されていることが確認できた。

#### 【実施例3】

10

#### 【0065】

図2に示す液体吐出ヘッドの構成において、Bドープされた単結晶Si(100)/SiO<sub>2</sub>/Si構成(各膜厚: 2.5 μm / 1 μm / 250 μm)を用いてSi(100)の上に振動板となるMgO(100)を0.3 μmの厚みで形成した。さらに下電極である中間第2層として0.2 μmのPT(001)を、その上に中間第1層として0.1 μmのPT(001)を、次に圧電体薄膜として2 μmのPZTを順番にエピタキシャル成長させた。すべての成膜工程において、成膜後は急冷により基板冷却を行った。PZTの組成はPb(Ti<sub>0.53</sub>, Zr<sub>0.47</sub>)O<sub>3</sub>で成膜した。

#### 【0066】

20

中間第1層であるPT(001)の基板加熱温度は成膜中に605とし、±5以内の範囲で意図的に変化させ成膜を行った。このようにして中間第1層に双晶構造を有する誘電体薄膜素子を形成し、さらに、上電極にはAuをペースト塗布した。

#### 【0067】

Si層はSF<sub>6</sub>とC<sub>4</sub>F<sub>8</sub>を用いたプラズマエッティング処理により圧力室を形成した。その後、圧力室の一部をなすSi基板および吐出口を有するノズルプレートを接合した。圧力室の幅は60 μm、奥行き2.2 mm、圧力室間の隔壁幅は24 μmである。

#### 【0068】

30

この液体吐出ヘッドを用いて、駆動周波数1 kHz、0 V / 30 Vの駆動電圧でインク耐久試験を行った。その結果、吐出回数10<sup>7</sup>回までの吐出において、すべてのノズル(吐出口)からインク吐出があり、耐久試験後に誘電体薄膜素子部の膜剥がれは確認されなかった。

#### 【実施例4】

#### 【0069】

中間第1層としてPT(001)の膜厚がそれぞれ1 nm、10 nm、100 nm、200 nm、300 nmであること以外は実施例3と同様の構造をもつ複数の液体吐出ヘッドを作製した。これらの液体吐出ヘッドを用いて駆動周波数10 kHz、5 V / 20 Vの駆動電圧でインク吐出試験を行った。吐出回数はそれぞれ10<sup>7</sup>回行い、同時に耐久試験を行った。その結果を表1に示す。PT(001)の膜厚がそれぞれ10 nm、100 nm、200 nmの液体吐出ヘッドは試験中、すべてのノズルからインク吐出があり、耐久試験後に誘電体薄膜素子部の膜剥がれは確認されなかった。一方、PT(001)の膜厚が300 nmの液体吐出ヘッドは一部のノズルから吐出力の不足が原因でインクの吐出が観察されなかった。また、PT(001)の膜厚が1 nmの液体吐出ヘッドは複数のノズルで誘電体薄膜素子の膜剥がれに起因するインク不吐があり、耐久試験後に誘電体薄膜素子部の膜剥がれが確認された。

40

#### 【0070】

#### 【表1】

PT(001)膜厚(nm)	1	10	100	200	300
吐出試験	○	○	○	○	×
耐久試験	×	○	○	○	○

50

## 【0071】

## (比較例1)

実施例1の比較例として、中間第1層に双晶構造を持たないことを除いて他は図1の(a)に示す実施例1と同様の構造をもつ誘電体薄膜素子を作製した。中間第1層であるPT(001)の基板加熱温度は成膜中に605とし、±0.1以内の範囲で固定して成膜を行った。このようにして作製した誘電体薄膜素子の結晶性をXRDにより測定したところ、PZTは(001)に優先配向していることを確認した。

## 【0072】

また基板法線軸に垂直である(010)から電子線を入射したPZTの電子線回折を行った結果、PZTは膜成長面を(001)とした単結晶構造が得られたことを確認した。  
さらに、基板法線軸に垂直である(010)から電子線を入射したPTの電子線回折を行った結果、PTも膜成長面を(001)とした単結晶構造をもつことを確認した。さらに、PZTのa軸をXRDにより測定したところ、 $a_d = 4.01$ は、 $Zr/Ti = 52/48$ のバルクセラミックスの文献値 $a = 4.036$ (JCPDS-330784)より小さく、圧縮の応力が生じていることが確認できた。

10

## 【0073】

このようにして得られた誘電体薄膜素子に対して、クロスカット試験により圧電体薄膜の密着性をテストした。基板面積は1cm、2cm、3cm、4cm、5cmとし、実施例1の、中間第1層のPTが双晶構造を持つ誘電体薄膜素子と、比較例1の中間第1層のPTが双晶構造をもたない誘電体薄膜素子の2種類を比較した。その結果を表2に示す。実施例1の誘電体薄膜素子では、すべての基板サイズにおいて圧電体薄膜の剥離する部分は全く無く、密着性は良好であった。一方、比較例1の誘電体薄膜素子では、基板面積が大きくなるに従い剥離する部分が多く、密着性は不良であった。

20

## 【0074】

## 【表2】

基板面積(cm <sup>2</sup> )	1	2	3	4	5
双晶構造あり	剥離なし	剥離なし	剥離なし	剥離なし	剥離なし
双晶構造なし	10%剥離	20%剥離	30%剥離	40%剥離	50%剥離

## 【0075】

30

## (比較例2)

実施例2の比較例として、中間層に双晶構造を持たないことを除いて他は実施例2と同様の構造をもつ誘電体薄膜素子を作製した。中間層であるPT(001)の基板加熱温度は比較例1と同様、成膜中に605とし、±0.1以内の範囲で固定して成膜を行った。このようにして作製した誘電体薄膜素子の単結晶性をXRDにより測定した結果、実施例2と同様にPZTは(001)に優先配向していることを確認した。

## 【0076】

また基板法線軸に垂直である(010)から電子線を入射したPZTの電子線回折を行った結果、PZTは膜成長面を(001)とした単結晶構造が得られたことを確認した。  
さらに、基板法線軸に垂直である(010)から電子線を入射したPTの電子線回折を行った結果、比較例1と同様にPTも膜成長面を(001)とした単結晶構造をもつことを確認した。さらに、PZTのa軸をXRDにより測定したところ、 $a_d = 4.00$ で、 $Zr/Ti = 52/48$ のバルクセラミックスの文献値(JCPDS-330784)より小さく、圧縮の応力が生じていることが確認できた。

40

## 【0077】

このようにして得られた誘電体薄膜素子に対して、クロスカット試験により圧電体薄膜の密着性をテストした。基板面積は1cm、2cm、3cm、4cm、5cmとし、実施例2の、中間層のPTが双晶構造を持つ誘電体薄膜素子と、比較例2の中間層のPTが双晶構造をもたない誘電体薄膜素子の2種類を比較した。その結果を表3に示す。実施例2の誘電体薄膜素子では、すべての基板サイズにおいて圧電体薄膜の剥離する部

50

分は全く無く、密着性は良好であった。一方、比較例2の誘電体薄膜素子では、基板面積が大きくなるに従い剥離する部分が多く、密着性は不良であった。

### 【0078】

【表3】

基板面積(cm <sup>2</sup> )	1	2	3	4	5
双晶構造あり	剥離なし	剥離なし	剥離なし	剥離なし	剥離なし
双晶構造なし	20%剥離	30%剥離	40%剥離	50%剥離	60%剥離

### 【0079】

#### (比較例3)

10

実施例3の比較例として、中間第1層に双晶構造を持たないことを除いて他は実施例3と同様の構造をもつ液体吐出ヘッドを作製した。中間第1層であるPT(001)の基板加熱温度は成膜中に605とし、±0.1以内の範囲で固定して成膜を行った。

### 【0080】

この液体吐出ヘッドを用いて、駆動周波数1kHz、0V/30Vの駆動電圧でインク耐久試験を行った。その結果、吐出回数10<sup>7</sup>回までの吐出で、複数のノズルで誘電体薄膜素子の膜剥がれに起因するインク不吐があり、耐久試験後に誘電体薄膜素子部の膜剥がれが確認された。

### 【産業上の利用可能性】

### 【0081】

20

本発明の誘電体薄膜素子は、液体吐出ヘッド等に用いられる圧電アクチュエータのみならず、各種センサ、不揮発メモリ、DRAMのキャパシタ絶縁膜等に応用できる。

### 【図面の簡単な説明】

### 【0082】

【図1】第1の実施の形態による誘電体薄膜素子およびその変形例の膜構成を示す図である。

【図2】第2の実施の形態による液体吐出ヘッドを示すもので、(a)はその模式断面図、(b)は部分平面図である。

【図3】実施例1による膜構成を説明する図である。

【図4】実施例1のXRDチャートである。

30

【図5】実施例1のPTのXRDロッキングカーブパターンを示すチャートである。

【図6】実施例2による膜構成を示す図である。

【図7】実施例2のXRDチャートである。

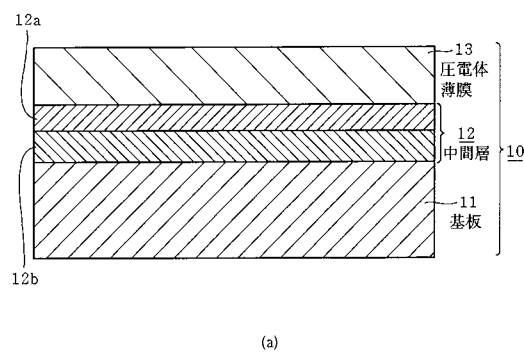
### 【符号の説明】

### 【0083】

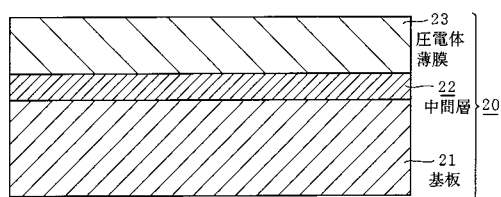
- |          |         |
|----------|---------|
| 10、20、30 | 誘電体薄膜素子 |
| 11、21、31 | 基板      |
| 12、22、32 | 中間層     |
| 12a、32a  | 中間第1層   |
| 12b、32b  | 中間第2層   |
| 13、23、33 | 圧電体薄膜   |
| 40       | 本体部     |
| 41       | 吐出口     |
| 42       | 圧力室     |
| 43       | 液体供給室   |

40

【図1】

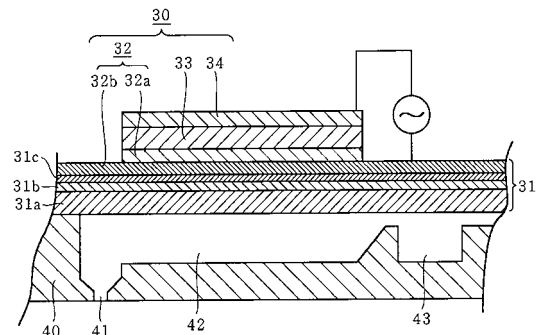


(a)

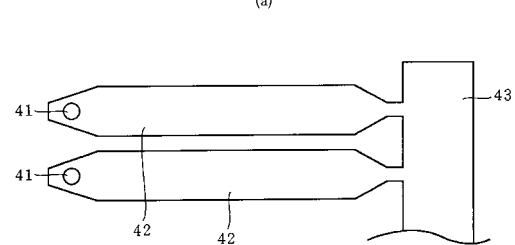


(b)

【図2】

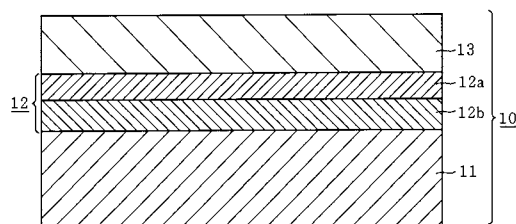


(a)



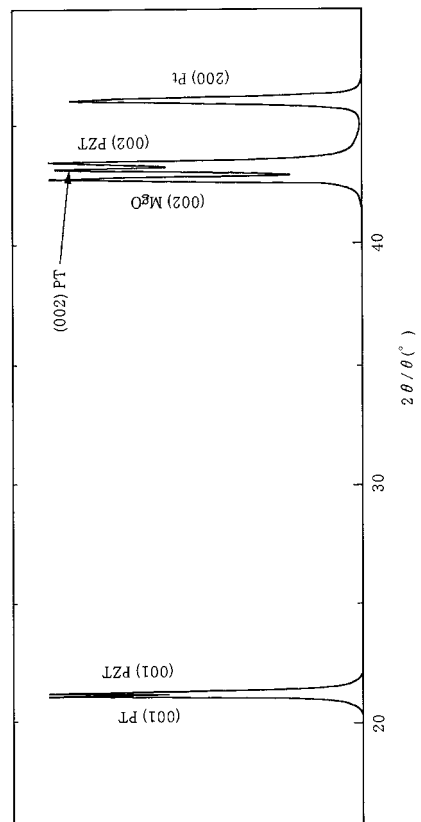
(b)

【図3】

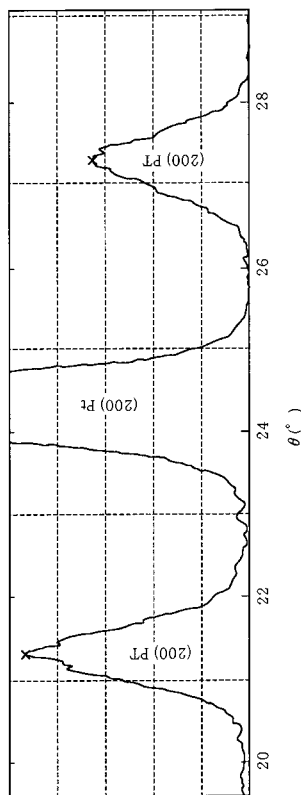


11 … MgO (基板)  
 12a … PT (中間第1層)  
 12b … PT (中間第2層+電極)  
 13 … PZT (压電体薄膜)

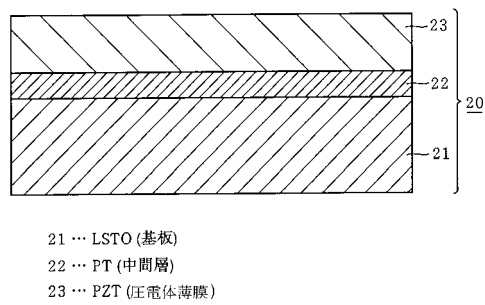
【図4】



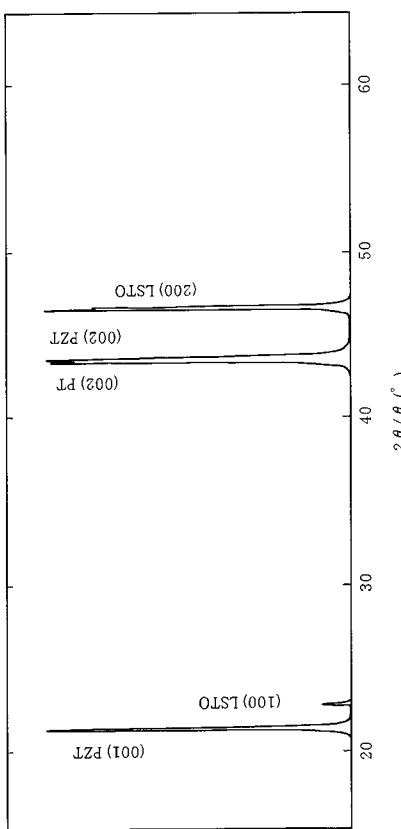
【図5】



【図6】



【図7】



---

フロントページの続き

(51)Int.Cl.	F I
B 4 1 J 2/16 (2006.01)	B 4 1 J 3/04 1 0 3 A
H 0 1 L 41/18 (2006.01)	B 4 1 J 3/04 1 0 3 H
H 0 2 N 2/00 (2006.01)	H 0 1 L 41/18 1 0 1 A
	H 0 2 N 2/00 B

(72)発明者 福井 哲朗  
東京都大田区下丸子3丁目30番2号 キヤノン株式会社内

審査官 河合 俊英

(56)参考文献 特開2002-164586 (JP, A)  
特開2002-029894 (JP, A)  
特開平11-214762 (JP, A)  
特表2001-525159 (JP, A)  
特開2003-309302 (JP, A)  
特開平03-237060 (JP, A)  
特開平05-090600 (JP, A)  
特開平09-110592 (JP, A)

(58)調査した分野(Int.Cl., DB名)

H 0 1 L	4 1 / 0 9
B 4 1 J	2 / 0 4 5
B 4 1 J	2 / 0 5 5
B 4 1 J	2 / 1 6
H 0 1 L	4 1 / 1 8
H 0 1 L	4 1 / 1 8 7
H 0 1 L	4 1 / 2 2
H 0 2 N	2 / 0 0